

05:09  
 ©1995 г.

## РАСПРОСТРАНЕНИЕ ПРЯМЫХ ПОВЕРХНОСТНЫХ МАГНИТОСТАТИЧЕСКИХ ВОЛН В СТРУКТУРЕ ФЕРРИТ-ДИЭЛЕКТРИК-МЕТАЛЛ, НАМАГНИЧЕННОЙ ЛИНЕЙНО НЕОДНОРОДНЫМ МАГНИТНЫМ ПОЛЕМ

*А.В.Вашковский, В.И.Зубков, Э.Г.Локк, В.И.Шеглов*

Институт радиотехники и электроники РАН,  
 141120, Фрязино, Московская область, Россия  
 (Поступило в Редакцию 7 июня 1994 г.  
 В окончательной редакции 9 ноября 1994 г.)

Теоретически исследованы траектории и законы изменения величины и направления волнового вектора к поверхностных магнитостатических волн (ПМСВ) различных частот, распространяющихся в структуре феррит-диэлектрик-металл, намагниченной линейно неоднородным постоянным магнитным полем  $H_z(z)$ , в зависимости от толщины диэлектрика. Показано, что распространение ПМСВ независимо от толщины диэлектрика происходит в волноведущем канале, на одной границе которого имеет место зеркальное отражение ПМСВ, а на другой — поворот направления распространения ПМСВ. Установлено, что наличие металлического слоя при толщине диэлектрика, меньшей толщины ферритового слоя, существенно усиливает канализирующие свойства неоднородного магнитного поля  $H_z(z)$  по сравнению с распространением ПМСВ в ферритовой пленке и вызывает эффект сильной фокусировки ПМСВ различных частот в некоторой области волноведущего канала. Полученные результаты необходимо учитывать при создании устройств на ПМСВ.

Магнитостатические волны (МСВ), распространяющиеся в ферритовых пленках (ФП) и в структурах феррит-диэлектрик-металл (ФДМ структурах), перспективны для создания твердотельных систем аналоговой обработки информации в СВЧ диапазоне (см., например, [1]). Это делает актуальным изучение способов управления дисперсионными свойствами поверхностных МСВ (ПМСВ), к числу которых, в частности, относятся создание неоднородного магнитного поля  $H_c$  (далее поля  $H_c$ ) на пути распространения ПМСВ [2-7] и в ФДМ структурах изменение толщины диэлектрического слоя [1,8]. Ниже приведены результаты исследования траекторий и законов изменения величины и направления волнового вектора к ПМСВ различных частот, распространяющихся в ФДМ структуре, намагниченной линейно неоднородным постоянным магнитным полем  $H_z(z)$ , в зависимости от толщины диэлектрического слоя.

Рассмотрим распространение ПМСВ в поле  $H_c = H_0 + H_n$ , где  $H_0$  — однородное поле (далее поле  $H_0$ ), а  $H_n$  — неоднородная добавка к нему. Пусть  $H_n \ll H_0$  и медленно меняется на расстоянии порядка длины ПМСВ. Тогда, как показано в [3–7], описание влияния поля  $H_c$  на распространение ПМСВ можно ограничить учетом только составляющей поля  $H_n$  вдоль поля  $H_0$ . В поле  $H_c$  находится бесконечная в плоскости  $y0z$  ФДМ структура, состоящая из ФП толщиной  $d$ , намагниченной до насыщения, идеально проводящего металлического слоя и диэлектрического слоя в виде воздушного зазора  $b$  между ними. Пусть плоскость  $y0z$  совпадает с поверхностью ФП, ближайшей к металлическому слою ФДМ структуры, и поле  $H_c$  направлено вдоль оси  $0z$ . Линейно неоднородное поле  $H_c$  записывается в виде

$$H_c = H_z(z) = H_0 + 4\pi M_0 z a^{-1} = 4\pi M_0 (\Omega_H + z a^{-1}), \quad (1)$$

где  $\Omega_H = H_0(4\pi M_0)^{-1}$ ,  $4\pi M_0$  — намагниченность насыщения ФП,  $4\pi M_0 a^{-1}$  — градиент поля  $H_c$ .

Линии уровня поля  $H_c$  в плоскости ФП представляют собой семейство прямых, параллельных оси  $0y$ . Экспериментально возможность создания полей  $H_c$ , близких к линейно неоднородному, при  $H_n \ll H_0$  показана нами в [5, 6, 9].

В ФДМ структуре распространяется ПМСВ с частотой  $\omega = 2\pi f$ , волновой вектор  $\mathbf{k}$  и групповая скорость  $s$  которой направлены под углами  $\varphi$  и  $\psi$  к оси  $0y$ . Поскольку  $H_n \ll H_0$ , то дисперсионное соотношение для ПМСВ как в ФП [3–7], так и в ФДМ структуре имеет тот же вид, что и для ПМСВ в поле  $H_0$ , а неоднородность поля  $H_c$  учитывается подстановкой соответствующего значения из (1) в компоненты тензора магнитной проницаемости  $\mu$  и  $\nu$ , т.е.

$$\mu = 1 + \Omega_{Hz} \left( \Omega_{Hz}^2 - \Omega^2 \right)^{-1}, \quad \nu = \Omega \left( \Omega_{Hz}^2 - \Omega^2 \right)^{-1},$$

$$\Omega = \omega \left( 4\pi |\gamma| M_0 \right)^{-1}, \quad \Omega_{Hz} = H_c (4\pi M_0)^{-1}, \quad (2)$$

где  $\gamma$  — гиromагнитное отношение для электрона.

Для наглядности известное дисперсионное соотношение для ПМСВ в ФДМ структуре [8] запишем в виде суммы двух слагаемых, первое из которых — дисперсионное соотношение для ПМСВ в ФП, а второе — добавка к нему, обусловленная наличием диэлектрического и металлического слоев,

$$[\beta - 2\mu\alpha \operatorname{cth}(\alpha kd)] + (\beta + 2 - 2p\nu \cos \varphi) \exp(-2kb) = 0, \quad (3)$$

где  $\alpha = [\mu^{-1} \sin^2 \varphi + \cos^2 \varphi]^{1/2}$ ,  $\beta = (\nu^2 - \mu^2 + \mu) \cos^2 \varphi - \mu - 1$ ,  $p = 1$  при распространении ПМСВ в плоскости  $y0z$  и  $p = -1$  при распространении ПМСВ в плоскости  $x = -d$ .

Напомним свойства ПМСВ в поле  $H_0$ , вытекающие из (3) при  $p = 1$  [1, 10, 11] (случай  $p = -1$ , описывающий распространение ПМСВ по границе ФП-подложка, мало интересен: закон дисперсии ПМСВ мало отличается от такового в ФП, а потери на распространение ПМСВ, как

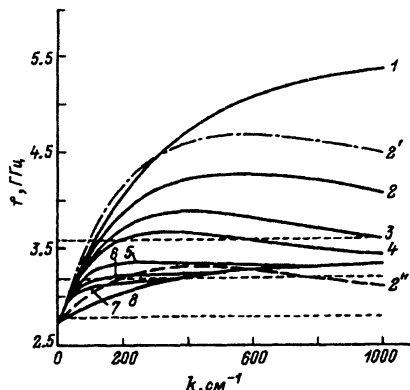


Рис. 1. Дисперсионные кривые  $f(k)$  при  $\Omega_H = 0.25$  и при различных  $b$ .  
 1 —  $b = 0$ , 2 —  $d/3$ , 3 —  $2d/3$ , 4 —  $d$ , 5 —  $2d$ ,  
 6 —  $3d$ , 7 —  $4d$ , 8 —  $\infty$ .

правило, велики [1,10,11]). ПМСВ существуют в некотором частотном диапазоне (с нижней  $\Omega_{\text{ун}}$  и верхней  $\Omega_{\text{уп}}$  границами) и в некотором интервале углов  $\varphi$ , ограниченном углами “отсечки”  $\pm\varphi_{\text{отс}}$ . Частота нижней границы  $\Omega_{\text{ун}}$  определяется из (3) при  $\varphi = \pm\varphi_{\text{отс}}$  (или при  $\varphi = 0$  и  $k = 0$  [1]) и равна

$$\Omega_{\text{ун}} = \sqrt{\Omega_H(\Omega_H + 1)}. \quad (4)$$

Она не зависит от зазора  $b$ . Частота верхней границы  $\Omega_{\text{уп},b}$  определяется из (3) при  $\varphi = 0$  и  $k = \infty$ . Она зависит от зазора  $b$  и имеет наименьшее значение при  $b = \infty$

$$\Omega_{\text{уп},\infty} = \Omega_H + 0.5 \quad (5)$$

и наибольшее значение при  $b = 0$

$$\Omega_{\text{уп},0} = \Omega_H + 1. \quad (6)$$

Тип ПМСВ (прямые или обратные волны) зависит от зазора  $b$  и интервала изменения волнового числа  $k$ . Сказанное иллюстрируется рис. 1, где приведены дисперсионные кривые  $f(k)$  ПМСВ, распространяющихся в ФДМ структуре ФП из железоиттриевого граната с намагниченностью насыщения  $4\pi M_0 = 1750$  Гс и толщиной  $d = 15$  мкм при  $\Omega_H = 0.25$  и  $\varphi_0 = 30^\circ$  (сплошные кривые) и различных зазорах  $b$ . (Частоты  $f_{\text{ун}} = 2.74$  ГГц,  $f_{\text{уп},\infty} = 3.34$  ГГц и  $f_{\text{уп},0} = 5.35$  ГГц). Дисперсионные кривые  $f(k)$  имеют различный вид в зависимости от зазора  $b$ . При  $b = \infty$  и  $b = 0$  функции  $f(k)$  — монотонно возрастающие, стремящиеся при  $k \rightarrow \infty$  соответственно к  $f_{\text{уп},\infty}$  и  $f_{\text{уп},0}$  (кривые 1 и 8), а описываемые ими ПМСВ — прямые волны. При  $0 < b \leq 3d$  функции  $f(k)$  имеют максимум в частотном диапазоне  $f_{\text{уп},\infty} < f < f_{\text{уп},0}$  при  $k = k_{\max}$  и стремятся к  $f_{\text{уп},\infty}$  при  $k \rightarrow \infty$  (кривые 2–5), ПМСВ при  $0 < k < k_{\max}$  — прямые, а при  $k_{\max} < k < \infty$  — обратные волны. При  $b \approx 3d$  функция  $f(k)$  имеет при малых  $k$  на частотах  $f < f_{\text{уп},\infty}$  слабо выраженный максимум и минимум и при  $k \rightarrow \infty$  стремится к  $f_{\text{уп},\infty}$ , а описываемые ею ПМСВ при  $0 < k < k_{\max}$  и при  $k_{\min} < k < \infty$  — прямые, а при  $k_{\max} < k < k_{\min}$  — обратные волны. При  $3d < b < \infty$  функции  $f(k)$  имеют точку перегиба на частотах  $f < f_{\text{уп},\infty}$  при малых  $k$ , образующую как бы “полочку” на зависимости  $f(k)$ , и стремятся при

$k \rightarrow \infty$  к  $f_{\text{up},\infty}$  (кривые 6 и 7), ПМСВ — прямые волны. Однако не все описанные волны можно наблюдать экспериментально. Поскольку потери на распространение ПМСВ обратно пропорциональны величине групповой скорости  $s$  [1,11], то ПМСВ, соответствующие экстремумам и точкам перегиба функции  $f(k)$ , наблюдать нельзя. Эксперименты, описанные в [10,11], подтверждают существование прямых и обратных ПМСВ, за исключением ПМСВ с малой групповой скоростью.

Задача о распространении ПМСВ в ФП и ФДМ структурах, намагниченных полем  $H_c$  произвольного вида, решается по методу Гамильтона-Якоби [6,7] и сводится к решению системы трех дифференциальных уравнений

$$\begin{aligned} \frac{dk}{dy} &= -k \left( \frac{\partial k}{\partial y} \cos \varphi + \frac{\partial k}{\partial z} \sin \varphi \right) \left( k \cos \varphi + \frac{\partial k}{\partial \varphi} \sin \varphi \right)^{-1}, \\ \frac{d\varphi}{dy} &= \left( \frac{\partial k}{\partial y} \sin \varphi - \frac{\partial k}{\partial z} \cos \varphi \right) \left( k \cos \varphi + \frac{\partial k}{\partial \varphi} \sin \varphi \right)^{-1}, \\ \frac{dz}{dy} &= \left( k \sin \varphi - \frac{\partial k}{\partial z} \cos \varphi \right) \left( k \cos \varphi + \frac{\partial k}{\partial \varphi} \sin \varphi \right)^{-1}, \end{aligned} \quad (7)$$

где частные производные  $\partial k / \partial y$ ,  $\partial k / \partial z$  и  $\partial k / \partial \varphi$  вычисляются из соотношения (3).

Начальные условия при решении уравнений (7) заданы в точке  $y = z = 0$  и для ПМСВ с частотой  $\Omega_i$ ; представимы в виде

$$\Omega = \Omega_i, \quad \varphi = \varphi_0, \quad H_c = H_0, \quad k = k_{0,i}, \quad (8)$$

где  $k_{0,i}$  находится из (3) при выполнении первых трех условий (8).

Знание зависимостей волнового числа  $k$  и угла  $\varphi$  от координаты  $y$  и траекторий ПМСВ  $z(y)$ , полученное из решения (7), позволяет получить полное представление о распространении ПМСВ, что важно для практических целей. Так, антенны в устройствах на ПМСВ должны пересекать траектории ПМСВ  $z(y)$ , что определяет их форму, и быть наклоненными под углом  $(90^\circ + \varphi)$ , а их ширина задается величиной волнового числа  $k$ . При изучении распространения ПМСВ вместо траекторий ПМСВ  $z(y)$  часто [1,2,4,8] исследуют изменение направления распространения энергии ПМСВ (направления групповой скорости  $s$ ), т.е. зависимости  $\psi(y)$ , которые определяются из  $z(y)$ , исходя из того, что касательные к траекториям в каждой точке поверхности ФП совпадают с направлением групповой скорости  $s$  и направлены под углом  $\varphi$ . Мы будем приводить зависимости  $\varphi(y)$  наряду с траекториями  $z(y)$ , поскольку по зависимостям  $\psi(y)$  легко судить об особых точках траекторий ПМСВ  $z(y)$ , которые при расчетах на ЭВМ иногда не очень заметны.

При распространении ПМСВ с заданной частотой  $\Omega_i$  в поле  $H_c$  проекция волнового вектора  $k$  на линию уровня поля сохраняется постоянной, что ведет к непрерывному изменению угла  $\varphi$  в пределах  $-\varphi_{\text{отс}} < \varphi < \varphi_{\text{отс}}$  и росту волнового числа  $k$  с увеличением модуля  $\varphi$  [3-7]. В полях  $H_c = H_z(z)$  постоянна проекция волнового вектора  $k$

на ось  $0y - k_{y,i}$ . ПМСВ в ФДМ структуре могут быть, как показано выше при анализе соотношения (3), как прямыми, так и обратными. При этом функция  $k(f)$  может быть двух- и трехзначной ( $k_{y,i}$  может иметь два и три значения). Условие  $k_{y,i} = \text{const}$  позволяет реализоваться только одному из них. Ниже рассматривается наиболее интересный и легко реализуемый на практике случай (ПМСВ, возбужденные широкополосным преобразователем), когда  $k_{y,i}$  имеет либо одно значение, либо наименьшее из возможных. В этом случае в поле  $H_c$  ПМСВ — прямые волны.

ПМСВ с заданными частотой  $\Omega_i$  и углом  $\varphi_0$  в поле  $H_c$  может распространяться только в интервале  $\delta H = H_{c,\text{up}} - H_{c,\text{un},b}$  изменения поля  $H_c$ . Границы интервала  $\delta H$  при распространении ПМСВ в ФДМ структуре определяются из дисперсионного соотношения (3) при  $\Omega_i = \text{const}$ .

Верхняя граница ( $H_{c,\text{up}}$ ) определяется из условия, что заданная частота ПМСВ  $\Omega_i$  становится равной частоте нижней границы частотного диапазона существования ПМСВ  $\Omega_{\text{un}}$ , определяемой по (4), и равна [7]

$$\Omega_{H,\text{up}} = 0.5 \left( \sqrt{4\Omega_i^2 + 1} - 1 \right). \quad (9)$$

При  $H_c = H_{c,\text{up}}$  угол  $\varphi = \varphi_{\text{отс}}$ . Эта граница не зависит от зазора  $b$  и совпадает с таковой для ПМСВ, распространяющейся в ФП, намагниченной полем  $H_0$  или  $H_c$  любого типа [5–8, 11, 12].

Нижняя граница ( $H_{c,\text{un},b}$ ) определяется из условия, что заданная частота ПМСВ  $\Omega_i$  становится равной частоте верхней границы частотного диапазона существования ПМСВ  $\Omega_{\text{up},b,k}$  при  $k_{y,i} = \text{const}$ , которая лежит в пределах  $\Omega_{\text{up},\infty,k} \leq \Omega_{\text{up},b,k} \leq \Omega_{\text{up},0,k} < \Omega_{\text{up},0,\infty}$ , определяемой по (6), так как  $k_{y,i} < \infty$ . Частота  $\Omega_{\text{up},b,k}$  определяется из (3) при угле  $\varphi = 0$  и при  $k_{y,i} = \text{const}$ . Из (3) видна ее сложная зависимость от зазора  $b$ . Определим ее наименьшее  $\Omega_{\text{up},\infty,k}$  [7] и наибольшее  $\Omega_{\text{up},0,k}$  значения при зазорах  $b = \infty$  и  $b = 0$

$$\Omega_{\text{up},\infty,k} = \sqrt{(\Omega_H + 0.5)^2 - 0.25 \exp(-2k_{y,i}d)}, \quad (10)$$

$$\Omega_{\text{up},0,k} = \frac{1 + \sqrt{(3 + 4\Omega_H)^2 + 4\kappa_{-1}(1 + \Omega_H)[(1 + 4\Omega_H) + \kappa_{-1}\Omega_H]}}{2\kappa_{+1}}, \quad (11)$$

где  $\kappa_1 = \text{cth } k_{y,i}d - 1$  и  $\kappa_{+1} = \text{cth } k_{y,i}d + 1$ .

Ими приближенно можно пользоваться в ряде интересных для практики случаев. Граница  $H_{c,\text{un},b}$  зависит от вида неоднородности поля  $H_c$  и среды, в которой распространяются ПМСВ. Поэтому она не совпадает с таковой для ПМСВ, распространяющейся в ФП, намагниченной линейно неоднородным полем  $H_c$  [7]. При зазорах  $b = \infty$  и  $b = 0$  она равна

$$\Omega_{H,\text{un},\infty} = 0.5 \left( \sqrt{4\Omega_i^2 + \exp(-2k_{y,i}d)} - 1 \right), \quad (12)$$

$$\Omega_{H,\text{un},0} = \frac{-(1 + \kappa_{+1} + \sqrt{(2\kappa_{+1}\Omega_i - 1)^2 + \kappa_{+1}\kappa_{-1}})}{2\kappa_{+1}}. \quad (13)$$

Границы интервала  $\delta H$  являются линиями уровня поля  $H_c$  и в плоскости  $y_0z$  им соответствуют пространственные границы — прямые  $z = z_{\text{up}}$  и  $z = z_{\text{un},b}$ ;  $z_{\text{un},\infty} \leq z_{\text{un},b} \leq z_{\text{un},0}$ ;  $z_{\text{up}}, z_{\text{un},\infty}$  и  $z_{\text{un},0}$  равны

$$z_{\text{up}} = 0.5a \left( \sqrt{4\Omega_i^2 + 1} - 1 - 2\Omega_H \right), \quad (14)$$

$$z_{\text{un},\infty} = 0.5a \left( \sqrt{4\Omega_i^2 + \exp(-2k_{y,i}d)} - 1 - 2\Omega_H \right), \quad (15)$$

$$z_{\text{un},0} = 0.5a \left( \frac{-1 + \sqrt{(2\kappa_{+1}\Omega_i - 1)^2 + \kappa_{+1}\kappa_{-1}}}{\kappa_{+1}} - 1 - 2\Omega_H \right). \quad (16)$$

Из (14)–(16) видно, что  $z_{\text{up}}$  и  $z_{\text{un},b}$  растут с увеличением частоты ПМСВ  $f$ .

Как известно [7,12], в полях  $H_c$  ПМСВ могут распространяться в волноведущих каналах различных типов, при этом тип канала определяется соотношением полей  $H_{c,\text{up}}$  и  $H_{c,\text{un}}$  с полем  $H_0$ . В линейно неоднородном поле  $H_c$  и в  $\Phi\Pi$ , и в  $\Phi DM$  структурах  $H_0 < H_{c,\text{up}}$  и ПМСВ распространяются в волноведущем канале первого типа, который характеризуется тем, что ПМСВ достигают обеих границ (и  $z_{\text{up}}$  и  $z_{\text{un},b}$ ). На границе  $z_{\text{un},b}$  происходит поворот направления распространения ПМСВ, так как угол  $\varphi = 0$ , а на границе  $z_{\text{up}}$  — зеркальное отражение ПМСВ. Из соображений, изложенных в [7,12], следует, что при распространении ПМСВ в волноведущем канале первого типа траектории  $z(y)$  и зависимости  $\psi(y)$ ,  $k(y)$  и  $\varphi(y)$  представляют собой периодические функции с одинаковым пространственным периодом  $L_y$  (далее периодом  $L_y$ ) и с особыми точками на краях периода  $L_y$ . Это обусловлено тем, что и период  $L_y$ , и вид особых точек определяются законом зеркального отражения на границе  $z_{\text{up}}$ . Наличие отражения на границе  $z_{\text{up}}$  обуславливает особые точки в виде точек излома у траекторий ПМСВ  $z(y)$  и функций  $k(y)$ . Равенство угла падения углу отражения при отсчете от нормали к границе  $z_{\text{up}}$  в принятой системе отсчета углов от оси  $0y$  означает, что углы  $\varphi_{\text{отс}}$  и  $\psi_{\text{отс}}$  на границе  $z_{\text{up}}$  меняют свой знак на противоположный и функции  $\psi(y)$  и  $\varphi(y)$  имеют особые точки — точки разрыва. Координаты особых точек функций  $z(y)$ ,  $\psi(y)$ ,  $k(y)$  и  $\varphi(y)$   $y = y_{0,t,n}$  ( $n$  — номер особой точки) совпадают между собой. Период  $L_y$  проще всего определять по траектории ПМСВ  $z(y)$  как расстояние по оси  $0y$  между двумя отражениями ПМСВ от границы  $z_{\text{up}}$ . Поворот направления распространения ПМСВ на границе  $z_{\text{un},b}$  обуславливает появление минимумов у функций  $z(y)$  и  $k(y)$  и точек, в которых  $\varphi(y) = 0$  и  $\psi(y) = 0$ . Поэтому координаты  $y = y_{\varphi,n}$  минимумов функций  $z(y)$  и  $k(y)$  совпадают между собой и со значениями  $y_{\varphi n}$  и  $y_{\psi n}$ , при которых  $\varphi(y) = 0$  и  $\psi(y) = 0$ . Функции  $z(y)$  и  $k(y)$  симметричны относительно прямых, оси ординат и проходящих через точки  $y = y_{\varphi,n}$ . Функции  $\varphi(y)$  и  $\psi(y)$  симметричны относительно поворота на  $180^\circ$  вокруг точек  $y = y_{\varphi,n}$ ,  $\varphi = 0$  и  $y = y_{\psi,n}$ ,  $\psi = 0$ . При  $0 \leq \varphi_0 \leq \varphi_{\text{отс}}$  начало первого периода всех функций сдвинуто относительно начала координат на  $y_0 < 0$ , при этом  $y_0 = -0.5L_y$  при  $\varphi_0 = 0$  и  $y_0 = 0$  при

$\varphi_0 = \varphi_{\text{отс}}$ . Соответственно  $y_{\theta,1} = 0$  при  $\varphi_0 = 0$  и  $y_{\theta,1} = 0.5L_y$  при  $\varphi_0 = \varphi_{\text{отс}}$ . Зная эти законы симметрии функций  $z(y)$ ,  $\psi(y)$ ,  $k(y)$  и  $\varphi(y)$ , при их построении ограничимся интервалом изменения  $y$  в пределах  $0 \leq y \leq y_{\theta,t,1}$  (тем более, что в экспериментах [6,9] при  $y > y_{\theta,t,1}$  ПМСВ не обнаруживаются), но описание функций будем давать в пределах целого периода  $L_y$  ( $y_0 \leq y \leq y_{\theta,t,1}$ ).

Решение системы (7) для ПМСВ, распространяющихся в ФДМ структурах с различными зазорами  $b$ , проводилось по методу Эйлера при  $a = 32$  см и тех же параметрах, при которых решалось дисперсионное соотношение (3). Были выбраны ПМСВ с частотой, близкой, но большей, чем  $f_{\text{up}}$  (2.8 ГГц), с частотой, близкой, но меньшей, чем  $f_{\text{up},\infty}$  (3.2 ГГц), и с частотой в диапазоне  $f_{\text{up},\infty} < f < f_{\text{up},0}$  (3.6 ГГц). Во втором случае частота приходится на “полочку” дисперсионной зависимости  $f(k)$ , а в третьем дважды пересекает ее (рис. 1).

На рис. 2 и 3 представлены траектории ПМСВ  $z(y)$  (а) и зависимости  $\psi(y)$  (б),  $k(y)$  (в) и  $\varphi(y)$  (г) при изменении  $y$  от точки возбуждения до конца первого периода  $L_y$  (на отрезке  $y_0 < y \leq 0$  они могут быть построены по указанным выше законам симметрии) для ПМСВ с частотами  $f = 2.8$  и  $3.2$  ГГц в ФДМ структурах с зазорами  $b$  от  $0$  до  $\infty$  (на рис. 2 из-за малости  $z_{\text{up},b}$  и  $z_{\text{up}}$  для удобства масштаб по оси  $0z$  увеличен в 20 раз по сравнению с масштабом по оси  $0y$ ). Из сравнения кривых 1–7 на рис. 2 и 3 с аналогичными в [7], а также с кривой 8 видно, что наличие металлического слоя при  $0 < b < 4d$  существенно влияет на вид зависимостей  $z(y)$ ,  $\psi(y)$ ,  $k(y)$  и  $\varphi(y)$ .

Для ПМСВ с частотой  $f \geq f_{\text{up}}$  (рис. 2) траектория ПМСВ  $z(y)$  в пределах первого периода  $L_y$  при  $0 < b < 3d$  существенно отличается от таковой в ФП [7] или описываемой кривой 8 на рис. 2: она имеет не один экстремум (минимум), а 5–3 минимума и 2 максимума (2 минимума и максимум находятся при  $y > 0$  (кривые 1 и 2 на рис. 2) и один минимум и один максимум при  $y < 0$ , которые не приведены на рис. 2, поскольку мы ограничились интервалом  $0 \leq y \leq y_{\theta,t,1}$ ), по-прежнему две точки перегиба, в которых  $z(y) = 0$ , и две точки излома на краях первого периода  $L_y$ , одна из которых —  $y_0$  при  $y < 0$ , а другая  $y_{\theta,t,1}$  при  $y > 0$  является концом траектории на рис. 2. Траектория ПМСВ  $z(y)$  симметрична относительно прямой, параллельной оси  $0z$  и проходящей через больший из минимумов. При увеличении зазора  $b$  один из минимумов и максимум вырождаются в точку перегиба (кривые 3–5). При  $0 < b < 4d$  граница  $z_{\text{up},b} \approx z_{\text{up},0}$  определяется по (16) и слабо зависит от зазора  $b$ , так как из-за малости  $k_{y,i}$  в (3)  $\exp(-2k_{y,i}b) \approx 1$ , а граница  $z_{\text{up}}$  действительно не зависит от зазора  $b$  и определяется по (14). Функция  $\psi(y)$  отличается от таковой для ПМСВ, распространяющихся в ФП, и похожа на функцию  $\psi_1(y-y_{\theta,1})^p \exp[q(y-y_{\theta,1})]$  при  $0 < p < 1$ ,  $q < 0$ . Зазор  $b$  влияет на величины  $\psi_1$ ,  $p$ ,  $q$ . Поскольку угол  $\psi$  — это угол наклона касательной к траектории в каждой ее точке, то дополнительному минимуму на траектории ПМСВ  $z(y)$ , описываемой кривыми 1 и 2, соответствует точка перегиба функции  $\psi(y)$ , а точке перегиба траектории ПМСВ  $z(y)$ , описываемой кривой 3, — минимум функции  $\psi(y)$ . Зависимость  $k(y)$  имеет тот же вид (часть параболы, ограниченной точками излома на краях периода  $L_y$ ), что и для ПМСВ,

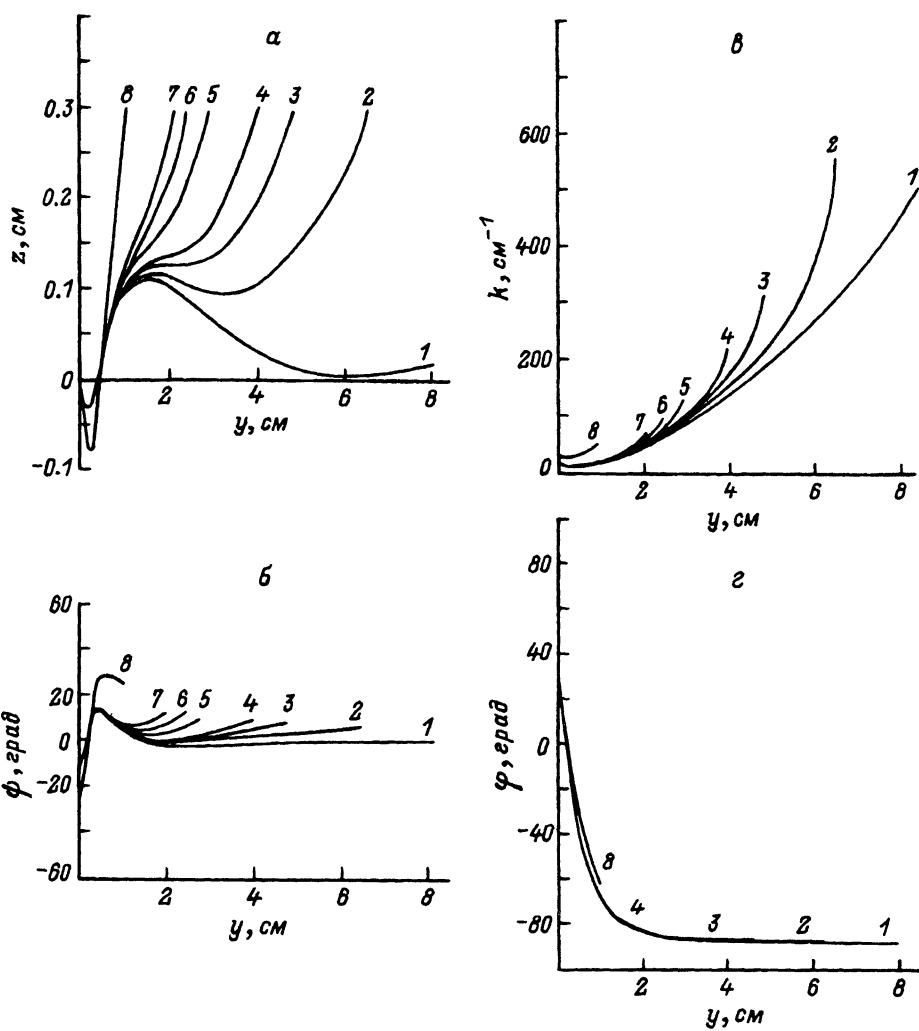


Рис. 2. Траектории ПМСВ  $z(y)$  (а) и зависимости  $\psi(y)$  (б),  $k(y)$  (в) и  $\varphi(y)$  (г) при  $0 \leq y \leq y_{0,t,1}$  для ПМСВ с частотой  $b = 2.8$  ГГц при различных  $b$ . 1-8 — то же, что и на рис. 1.

распространяющихся в ФП. Минимум функции  $k(y)$  слабо зависит от зазора  $b$  при  $0 < b < 4d$ , а наибольшее значение волнового числа  $k$  растет с уменьшением  $b$ . Функция  $\varphi(y)$  похожа на  $\text{arcctg}(y - y_{0,1}) - (\pi/2)$ , зазор  $b$  влияет только на область ее определения, которая уменьшается с ростом зазора  $b$ , и отличается от таковой для ПМСВ в ФП [7]. Период  $L_y$  перечисленных функций монотонно увеличивается с уменьшением зазора  $b$ , что обусловлено увеличением групповой скорости ПМСВ  $s$  (рис. 1).

Для ПМСВ с частотой  $f \leq f_{\text{up},\infty}$  (рис. 3) в пределах периода  $L_y$  траектория  $z(y)$  похожа на таковую для ПМСВ в ФП [7] — это кривая с одним минимумом, двумя точками перегиба, в которых  $z(y) = 0$ , и

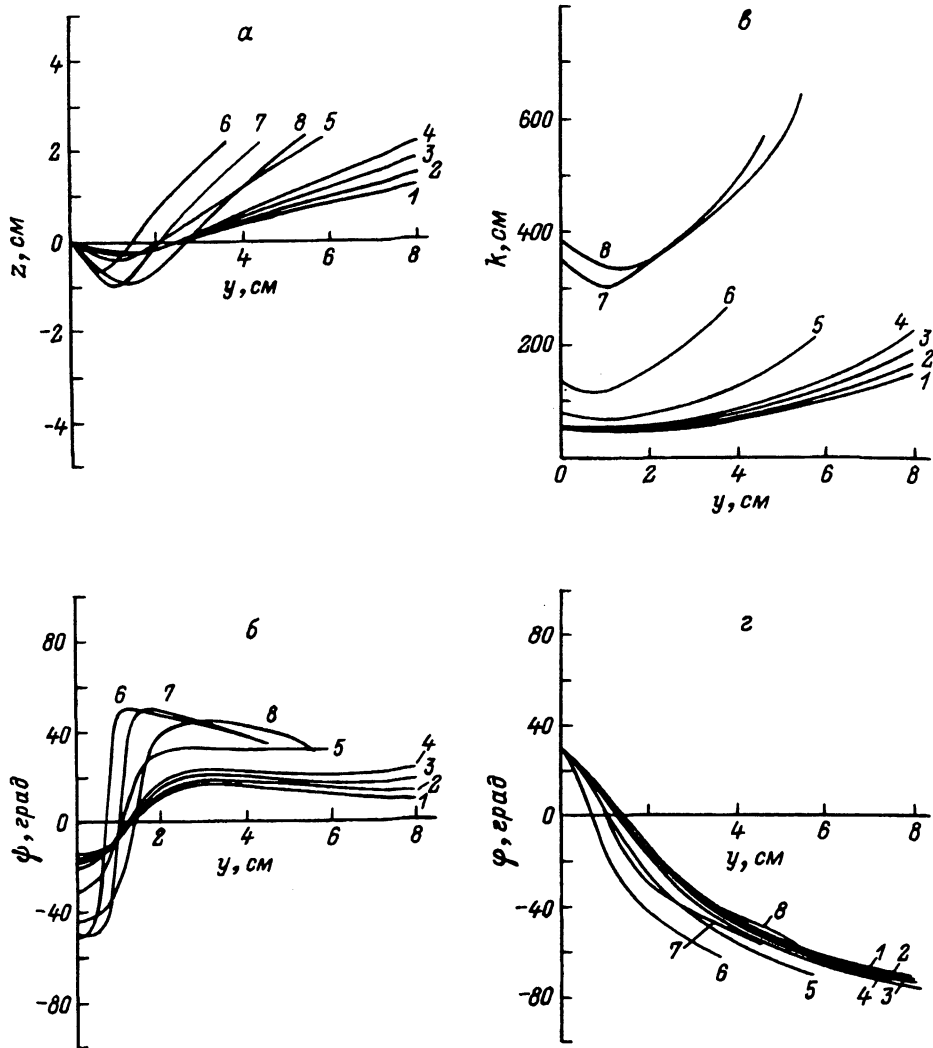


Рис. 3. Тез же зависимости для ПМСВ, что и на рис. 2, с частотой  $f = 3.2$  ГГц.

двуумя точками излома на краях периода  $L_y$ . Функция  $\psi(y)$  похожа на функцию  $\psi_1(y - y_{\theta,1})^{1/3} \exp[-bd^{-1}k(y - y_{\theta,1})]$ , но имеет при  $0 < b < 2d$  асимптоты, параллельные оси  $0y$  и свидетельствующие о прямолинейности траектории  $z(y)$ , и экстремумы при  $b > 3d$ . Зависимость  $k(y)$  имеет тот же вид, что и для ПМСВ в ФП. Минимум функции  $k(y)$  и наибольшее значение волнового числа  $k$  растут с увеличением  $b$ . Функция  $\varphi(y)$  похожа на функцию  $-\varphi_1(y - y_{\theta,1})^{1/3}$ , зазор  $b$  влияет на  $\varphi_1$ . Период  $L_y$  и координаты  $y_{\theta,n}$  всех функций, а также  $z_{un,b}$ ,  $\varphi_1$  и  $\psi_1$  имеют минимум при некотором зазоре  $b$ .

На частоте  $f = 3.6$  ГГц характеристики ПМСВ похожи на таковые для ПМСВ с частотой  $f = 3.2$  ГГц, однако период  $L_y$  функций  $z(y)$ ,  $k(y)$ ,  $\varphi(y)$  и  $\psi(y)$ , а также  $y_e$  монотонно уменьшается с увеличением зазора  $b$ , как это имеет место на частоте  $f = 2.8$  ГГц.

Качественно объяснить наличие минимума у периода  $L_y$  при некотором зазоре  $b$  на частотах  $f \leq f_{up,\infty}$  и выявить условия, при которых он существует, можно из анализа изочастотных кривых  $k_z(k_y)$  и дисперсионных кривых  $f(k)$ , приведенных на рис. 1. Действительно, проведем на рис. 1 прямые  $f = 2.8$ ,  $3.2$  и  $3.6$  ГГц. Видно, что угол, под которым пересекаются дисперсионные кривые  $f(k)$  с прямыми  $f = 2.8$  и  $3.6$  ГГц, растет с уменьшением зазора  $b$ , а угол, под которым пересекаются дисперсионные кривые  $f(k)$  с прямой  $f = 3.2$  ГГц, имеет минимум при том же зазоре  $b$ , при котором минимален период  $L_y$ . Это говорит о том, что существование минимума у периода  $L_y$  связано с наличием "полочки" на дисперсионных кривых  $f(k)$  для различных зазоров  $b$  в случае, когда вся дисперсионная кривая  $f(k)$  лежит ниже частоты  $f_{up,\infty}$ . Этот вывод справедлив и для ПМСВ, распространяющихся в неоднородном поле  $H_c$ , хотя дисперсионные кривые  $f(k)$ , приведенные на рис. 1, справедливы только для ПМСВ, распространяющихся в однородном поле  $H_0$ , и реальные дисперсионные кривые  $f(k)$ , если бы их можно было построить, отличались бы от них тем, что частота  $f$  была бы значительно больше при заданных малых  $k$  (где угол  $\varphi \approx 0$ ) и больше при больших (где  $H_c > H_0$ ) значениях  $k$  (в соответствии с видом траектории и зависимостью  $\varphi(y)$  на рис. 2 и 3). Для угла  $\varphi$  это видно из приведенных на рис. 1 дисперсионных кривых  $f(k)$  при зазоре  $b = 5$  мкм для углов  $\varphi_0 = 0$  (штрихпунктирная 2') и  $60^\circ$  (штриховая кривая 2'').

Если, как и в [5], строить зависимости  $z(y)$ ,  $k(y)$ ,  $\varphi(y)$  и  $\psi(y)$  по изочастотным кривым  $k_z(k_y)$  на частотах  $f = 2.8$ ,  $3.2$  и  $3.6$  ГГц при различных зазорах  $b$ , то прямая, проведенная из начала координат плоскости  $k_z k_y$  под углом  $\varphi_0 = 30^\circ$ , будет пересекать изочастотные кривые  $k_z(k_y)$  под углом, который на частотах  $f = 2.8$  и  $3.6$  ГГц растет с уменьшением зазора  $b$ , а на частоте  $f = 3.2$  ГГц этот угол имеет минимум (иногда равный нулю) при пересечении с изочастотной кривой  $k_z(k_y)$ , соответствующей тому зазору  $b$ , при котором минимален период  $L_y$ . При указанном построении видно, что минимум периода  $L_y$ , когда он существует, при увеличении угла  $\varphi_0$  будет наблюдаться при меньших значениях зазора  $b$ . При  $\varphi_0 = 0$  для ПМСВ всех частот период  $L_y$  не имеет минимума.

Из вышеизложенного следует, что по сравнению с распространением ПМСВ в ФП в ФДМ структурах при  $0 < b < 3d$  происходит заметное усиление канализирующих свойств, проявляющееся в увеличении периода  $L_y$  и уменьшении  $z_{un,b}$ .

Как известно из [7], период  $L_y$  функций  $z(y)$ ,  $\psi(y)$ ,  $k(y)$  и  $\varphi(y)$  имеет максимум  $L_{y,max}$  в зависимости от частоты  $f$  на некоторой частоте  $f_{max}$  из-за того, что  $z_{up}$ ,  $z_{un}$  и угол  $\varphi_0$  растут с частотой  $f$  по различным законам. Интересно выяснить, как влияет зазор  $b$  на поведение этого максимума. На рис. 4 приведены траектории ПМСВ  $z(y)$  (a) и зависимости  $\psi(y)$  (б),  $k(y)$  (в) и  $\varphi(y)$  (г) для ПМСВ различных частот при зазоре  $b = 5$  мкм. Из рис. 4 видно, что наличие этого максимума ведет

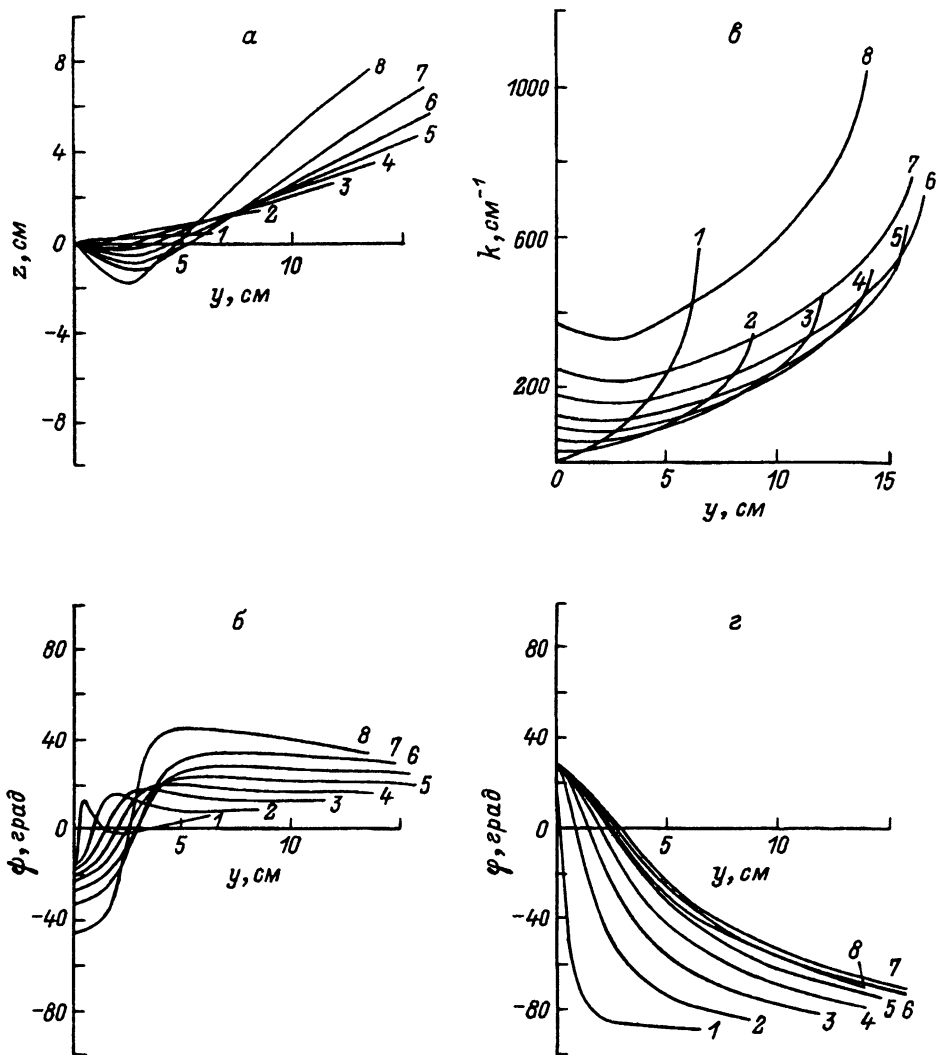


Рис. 4. Траектории ПМСВ  $z(y)$  (α) и зависимости  $\psi(y)$  (β),  $k(y)$  (γ) и  $\varphi(y)$  (δ) при  $0 \leq y \leq 0.1$ ,  $b = 5$  мкм для ПМСВ различных частот.

$f$ , ГГц: 1 — 2.8, 2 — 3, 3 — 3.2, 4 — 3.4, 5 — 3.6, 6 — 3.8, 7 — 4, 8 — 4.2.

к тому, что траектории ПМСВ в частотном диапазоне  $\delta f$  (800 МГц) (кривые 3–7), начинают пересекаться (фокусироваться) в некотором узком интервале значений  $\delta y$  (0.07 см), что указывает на возможность создания широкополосного полосно-пропускающего фильтра. Расчеты показывают, что этот максимум не имеет места при  $b = 0$ , а при  $b \neq 0$   $L_{y,\max}$  и  $f_{\max}$  уменьшаются с увеличением зазора  $b$ . С увеличением зазора  $b$  диапазон  $\delta f$  уменьшается (до 600 МГц при  $b = (2d)/3$  и 400 МГц при  $b = d$ ), а интервал  $\delta y$  увеличивается (до 0.1 см при  $b = 2d/3$  и до 0.15 см при  $b = d$ ) и сдвигается в сторону меньших значений  $y$ . По сравнению с распространением ПМСВ в ФП [7] этот эффект выражен гораздо сильнее (в [7]  $\delta f_{\text{sup}} = 300$  МГц при  $\delta y_{\text{inf}} = 0.5$  см).

Таким образом, выяснены особенности распространения ПМСВ в ФДМ структуре, обусловленные толщиной диэлектрического слоя, в случае, когда в ней реализуется волноведущий канал первого типа, на одной границе которого происходит зеркальное отражение ПМСВ, а на другой — поворот направления распространения ПМСВ. При этом вид траекторий ПМСВ  $z(y)$ , а также зависимостей угла наклона групповой скорости ПМСВ  $\psi(y)$ , волнового числа ПМСВ  $k(y)$  и угла наклона волнового вектора  $k \varphi(y)$  определяется законом дисперсии ПМСВ. Установлено, что наличие металлического слоя при толщинах диэлектрика  $b \leq d$  существенно усиливает канализирующие свойства поля  $H_c$  по сравнению с распространением ПМСВ в ФП. При этих же условиях обнаружен эффект сильной фокусировки ПМСВ различных частот в некоторой области волноведущего канала.

Проведенные исследования финансировались по гранту № 94-02-03507-а Российского фонда фундаментальных исследований.

#### Список литературы

- [1] Ваннэ Г.М. // Обзоры по электронной технике. Сер. 1. Электроника СВЧ. 1984. № 8. С. 1060.
  - [2] Stancil D.D., Morgenthaler F.R. // J. Appl. Phys. 1983. Vol. 54. N 3. P. 1613–1618.
  - [3] Вашковский А.В., Зубков В.И., Локк Э.Г., Щеглов В.И. // Письма в ЖТФ. 1989. Т. 15. Вып. 4. С. 5–8.
  - [4] Бурлак Г.Н., Гримальский В.В., Коцаренко Н.Я. // ЖТФ. 1989. Т. 59. Вып. 8. С. 32–37.
  - [5] Зубков В.И., Локк Э.Г., Щеглов В.И. // РиЭ. 1990. Т. 35. № 8. С. 1617–1623.
  - [6] Ващковский А.В., Зубков В.И., Локк Э.Г., Щеглов В.И. // ЖТФ. 1990. Т. 60. Вып. 7. С. 138–142.
  - [7] Ващковский А.В., Зубков В.И., Локк Э.Г., Щеглов В.И. // РиЭ. 1991. Т. 36. № 1. С. 18–23.
  - [8] Валляевский А.Б., Ващковский А.В., Стальмахов А.В., Тюлюкин В.А. // РиЭ. 1988. Т. 33. № 9. С. 1820–1830.
  - [9] Ващковский А.В., Зубков В.И., Локк Э.Г., Щеглов В.И. // Письма в ЖТФ. 1989. Т. 15. Вып. 4. С. 1–4.
  - [10] Есиков О.С., Толокнов Н.А., Фетисов Ю.К. // РиЭ. 1980. Т. 25. № 1. С. 128–132.
  - [11] Зубков В.И., Локк Э.Г., Щеглов В.И. // РиЭ. 1989. Т. 34. № 7. С. 1381–1384.
  - [12] Ващковский А.В., Зубков В.И., Локк Э.Г., Щеглов В.И. // РиЭ. 1994. Т. 39. № 2. С. 217–227.
-